

Mécanisme = Association de pièces reliées entre elles par des liaisons

Modélisation = Créer un outil de calcul simplifié qui peut s'apparenter à la réalité

Liaisons Simples

Surfaces en Contact	Sphère	Cylindre	Plan
Sphère	Rotule	Linéaire Annulaire	Ponctuelle
Cylindre	Linéaire Annulaire	Pivot Glissant	Linéaire Rectiligne
Plan	Ponctuelle	Linéaire Rectiligne	Appui Plan

Graphe des liaisons = Représentation qui décrit les liaisons entre les pièces / classes d'équivalence d'un mécanisme.

Schéma cinématique = Représentation géométrique plane ou spatiale du graphe des liaisons.

Force = Action d'un corps sur un autre qui peut modifier la vitesse, la trajectoire et même aller jusqu'à déformer un ou des corps impliqués. **Unité** : Newton (N) ou kg.m.s^{-2}

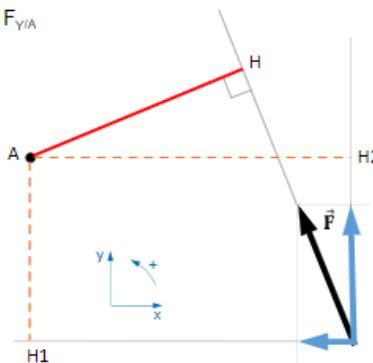
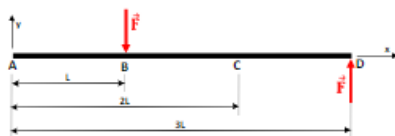
Force → à contact direct
→ à distance

Le **moment** d'une force mesure l'effet à causer une rotation aux solides sur lesquels elle agit.

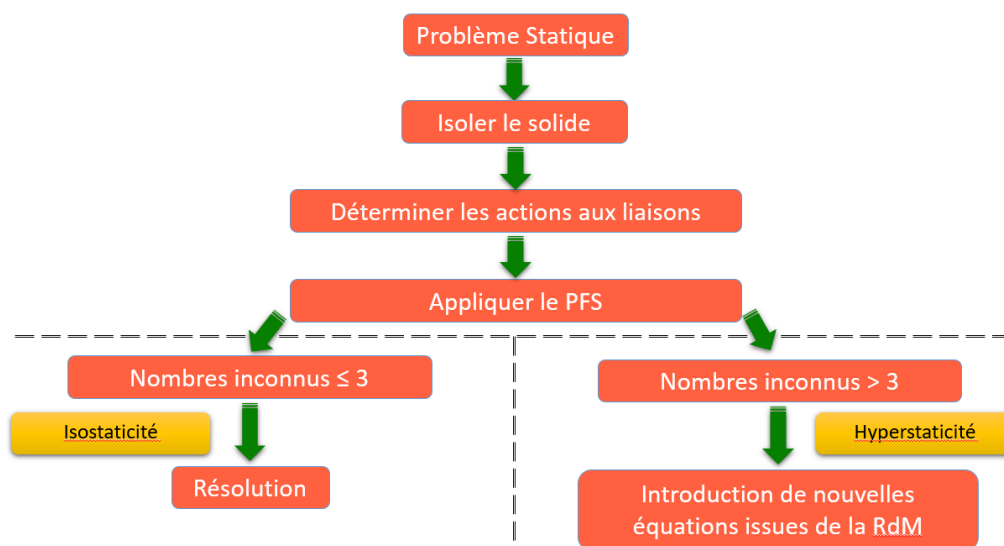
Théorème de Varignon :

Moment de $F_{/A}$ = Moment de $F_{X/A}$ + Moment de $F_{Y/A}$

$AH \cdot F = AH_2 \cdot F_Y - AH_1 \cdot F_X$



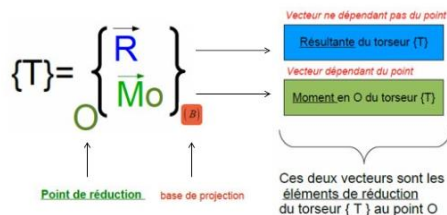
Un système matériel indéformable isolé est en équilibre si le torseur des actions mécaniques extérieures qui lui est appliquée est nul.



(S) en équilibre $\Leftrightarrow \begin{cases} \sum \vec{F}_{\text{ext}} = \vec{0} \\ \sum \vec{M}_{\vec{F}_{\text{ext}}/P} + \sum \vec{M}_i = \vec{0} \end{cases}$

Le torseur est un outil mathématique particulièrement bien adapté aux calculs de mécanique du solide indéformable.

Notation vectorielle :



Notation analytique :

$$\{T\} = \begin{pmatrix} X \\ Y \\ Z \end{pmatrix} \begin{pmatrix} L \\ M \\ N \end{pmatrix} \quad \text{avec} \quad \begin{cases} \vec{R} = X\vec{i} + Y\vec{j} + Z\vec{k} \\ \vec{M}_A = L\vec{i} + M\vec{j} + N\vec{k} \end{cases}$$

Point de réduction base de projection

Changement de point du torseur :

$$\begin{Bmatrix} \vec{R} \\ \vec{M}_A \end{Bmatrix}_A \quad \text{et} \quad \begin{Bmatrix} \vec{R} \\ \vec{M}_B \end{Bmatrix}_B = \begin{Bmatrix} \vec{R} \\ \vec{M}_A + B\vec{A} \wedge \vec{R} \end{Bmatrix}$$

Torseurs statiques :

Liaison	Degré de mobilité	Schéma spatial	Schémas plan	Torseur statique
Encastrement	0 0			$\begin{Bmatrix} X_{S2/S1} & L_{S2/S1} \\ Y_{S2/S1} & M_{S2/S1} \\ Z_{S2/S1} & N_{S2/S1} \end{Bmatrix}$
	0 0			
	0 0			
Pivot d'axe x	0 Rx			$\begin{Bmatrix} X_{S2/S1} & 0 \\ Y_{S2/S1} & M_{S2/S1} \\ Z_{S2/S1} & N_{S2/S1} \end{Bmatrix}$
	0 0			
	0 0			
Glissière d'axe x	Tx 0			$\begin{Bmatrix} 0 & L_{S2/S1} \\ Y_{S2/S1} & M_{S2/S1} \\ Z_{S2/S1} & N_{S2/S1} \end{Bmatrix}$
	0 0			
	0 0			
Hélicoïdale d'axe x	Tx Rx			$\begin{Bmatrix} X_{S2/S1} & L_{S2/S1} \\ Y_{S2/S1} & M_{S2/S1} \\ Z_{S2/S1} & N_{S2/S1} \end{Bmatrix}$
	0 0			
	0 0			
Pivot glissant d'axe x	Tx Rx			$\begin{Bmatrix} 0 & 0 \\ Y_{S2/S1} & M_{S2/S1} \\ Z_{S2/S1} & N_{S2/S1} \end{Bmatrix}$
	0 0			
	0 0			

Sphérique à doigt d'axe x	0 0	L-4			$\begin{Bmatrix} X_{S2/S1} & L_{S2/S1} \\ Y_{S2/S1} & 0 \\ Z_{S2/S1} & 0 \end{Bmatrix}$
	0 Rx				
	0 Rx				
Appui plan de normale y	Tx 0	L-3			$\begin{Bmatrix} 0 & L_{S2/S1} \\ Y_{S2/S1} & 0 \\ 0 & N_{S2/S1} \end{Bmatrix}$
	0 Ry				
	Tz 0				
Rotule de centre A	0 Rx	L-3			$\begin{Bmatrix} X_{S2/S1} & 0 \\ Y_{S2/S1} & 0 \\ Z_{S2/S1} & 0 \end{Bmatrix}$
	0 Ry				
	0 Rz				
Linéaire annulaire d'axe x	Tx Rx	L-2			$\begin{Bmatrix} 0 & 0 \\ Y_{S2/S1} & 0 \\ Z_{S2/S1} & 0 \end{Bmatrix}$
	0 Ry				
	0 Rz				
Linéaire rectiligne d'axe x de normale y	Tx Rx	L-2			$\begin{Bmatrix} 0 & 0 \\ Y_{S2/S1} & 0 \\ 0 & N_{S2/S1} \end{Bmatrix}$
	0 Ry				
	Tz 0				
Ponctuelle de normale y	Tx Rx	L-1			$\begin{Bmatrix} 0 & 0 \\ Y_{S2/S1} & 0 \\ 0 & 0 \end{Bmatrix}$
	0 Ry				
	Tz Rx				

Torseurs cinématiques :

Liaison	Degré de mobilité	Schéma spatial	Schémas plan	Torseur cinématique
Encastrement	0 0			$\begin{Bmatrix} 0 & 0 \\ 0 & 0 \\ 0 & 0 \end{Bmatrix}$
	0 0			
	0 0			
Pivot d'axe x	0 Rx			$\begin{Bmatrix} \omega_X & 0 \\ 0 & 0 \\ 0 & 0 \end{Bmatrix}$
	0 0			
	0 0			
Glissière d'axe x	Tx 0			$\begin{Bmatrix} 0 & V_X \\ 0 & 0 \\ 0 & 0 \end{Bmatrix}$
	0 0			
	0 0			
Hélicoïdale d'axe x	Tx Rx			$\begin{Bmatrix} \omega_X & V_X \\ 0 & 0 \\ 0 & 0 \end{Bmatrix}$
	0 0			
	0 0			
Pivot glissant d'axe x	Tx Rx			$\begin{Bmatrix} \omega_X & V_X \\ 0 & 0 \\ 0 & 0 \end{Bmatrix}$
	0 0			
	0 0			

Sphérique à doigt d'axe x	0 0	L-4			$\begin{Bmatrix} 0 & 0 \\ \omega_Y & 0 \\ \omega_Z & 0 \end{Bmatrix}$
	0 Rx				
	0 Rx				
Appui plan de normale y	Tx 0	L-3			$\begin{Bmatrix} 0 & V_X \\ \omega_Y & 0 \\ 0 & V_Z \end{Bmatrix}$
	0 Ry				
	Tz 0				
Rotule de centre A	0 Rx	L-3			$\begin{Bmatrix} \omega_X & 0 \\ \omega_Y & 0 \\ \omega_Z & 0 \end{Bmatrix}$
	0 Ry				
	0 Rz				
Linéaire annulaire d'axe x	Tx Rx	L-2			$\begin{Bmatrix} \omega_X & V_X \\ \omega_Y & 0 \\ \omega_Z & 0 \end{Bmatrix}$
	0 Ry				
	0 Rz				
Linéaire rectiligne d'axe x de normale y	Tx Rx	L-2			$\begin{Bmatrix} \omega_X & V_X \\ \omega_Y & 0 \\ 0 & V_Z \end{Bmatrix}$
	0 Ry				
	Tz 0				
Ponctuelle de normale y	Tx Rx	L-1			$\begin{Bmatrix} \omega_X & V_X \\ \omega_Y & 0 \\ \omega_Z & V_Z \end{Bmatrix}$
	0 Ry				
	Tz Rx				